



نیش از دور و سامانه اطلاعات جغرافیایی دنیاگ طبیعی (مال سیند و هم اشاره اول) بهار ۱۴۰۱

نمایه شده در سایت: پایگاه استنادی علوم اسلام، جهاد دانشگاهی، مگ ایران، نورمگز، سیوپلیکا، گوگل اسکولار

آدرس وب سایت: <http://girs.iaubushehr.ac.ir>



مقاله
پژوهشی

مقایسه برآورد رطوبت سطح خاک در اراضی کشاورزی آق قلا با استفاده از تصاویر SAR (پالسار ۲-آلوس و سنتینل-۱)

سعدهاله سنگینی، هادی فدایی، امیر سعدالدین، واحد بردی شیخ، چوقی بایرام کمکی

دریافت: ۱۲ دی ۱۳۹۹ / بازنگری: ۴ اردیبهشت ۱۴۰۰ / پذیرش: ۲۶ اردیبهشت ۱۴۰۰

دسترسی اینترنتی: ۳۰ اردیبهشت ۱۴۰۰

چکیده

مواد و روش‌ها در این تحقیق، از سه سری داده راداری آلوس-۲ از سنجنده پالسار، سنتینل-۱ و داده اپتیکی سنتینل-۲ استفاده شد. برای محاسبه رطوبت سطح خاک ابتدا به روش وزنی در محل هر خوش نمونه‌های خاک در عمق ۵ سانتی‌متری برداشت و توزین گردید پس از خشک نمودن نمونه‌ها در آون وزن خشک و مرطوب محاسبه دی‌الکتریک و زبری سطح خاک اندازه‌گیری شد. ثابت دی‌الکتریک با استفاده از TDR و زبری با استفاده از دو دوربین دیجیتال محاسبه گردید. با استفاده از نرم‌افزار Agisoft photo scan و ArcGIS مدل رقومی ارتقایی و پروفیل ناهمواری‌های سطح استخراج گردید. داده‌های راداری با نرم‌افزار SNAP مربوط به آژانس فضایی اروپا ESA پردازش گردید. مراحل پردازش شامل کالیبراسیون رادیومتریکی، استخراج سیگما نات در واحد دسی‌بل، فیلترگذاری با فیلتر لی و کرنل سایز 5×5 و تصحیح هندسی و نهایتاً ژئوکدینگ هر سه داده انجام شد. با داده اپتیکی سنتینل-۲ ضمن تهیه شاخص‌های گیاهی و نمناکی نقشه کاربری اراضی با الگوریتم راندوم فارست تهیه گردید. در ادامه با در دست داشتن مقادیر زبری، ثابت دی‌الکتریک و شاخص‌های گیاهی و نمناکی در محیط نرم‌افزار متلب ۲۰۱۹ دو مدل Oh و WCM کدنویسی و مقادیر رطوبت سطح خاک محاسبه و خروجی گرفته شد. سپس رطوبت

پیشینه و هدف دشت آق قلا که یکی از دشت‌های حاصلخیز استان گلستان است. تجمع رواناب و شکل‌گیری سیلاب خسارات جانی و مالی فراوان را به همراه دارد. شناخت پراکنش‌های زمانی و مکانی رطوبت سطح خاک یک متغیر کلیدی در شبیه‌سازی رواناب و کاهش مخاطرات ناشی از سیل در محدوده تحقیق است. در این تحقیق میزان رطوبت سطح خاک با استفاده از داده‌های ماهواره‌های راداری آلوس-۲ از پالسار در باند L و سنتینل-۱ در باند C مورد بررسی قرار گرفت.

سعدهاله سنگینی^۱، هادی فدایی^۲، امیر سعدالدین^(✉)^۳، واحد بردی شیخ^۴، چوقی بایرام کمکی^۵

۱. دانشجوی دکتری آبخیزداری گرایش آب، دانشکده منابع طبیعی، دانشگاه علوم

کشاورزی و منابع طبیعی، گرگان، ایران

۲. استادیار، گروه جغرافیا، دانشگاه علوم انتظامی امین، تهران، ایران

۳. دانشیار، گروه آبخیزداری، دانشکده منابع طبیعی، دانشگاه علوم کشاورزی و منابع طبیعی، گرگان، ایران

۴. دانشیار، گروه آبخیزداری، دانشکده منابع طبیعی، دانشگاه علوم کشاورزی و منابع طبیعی، گرگان، ایران

۵. استادیار، گروه مدیریت مناطق بیابانی، دانشکده منابع طبیعی، دانشگاه علوم کشاورزی و منابع طبیعی، گرگان، ایران

پست الکترونیکی مسئول مکاتبات: amir.sadoddin@gau.ac.ir

http://dorl.net/dor/20.1001.1.26767082.1401.13.1.1.9

VH در تصاویر پالسار-۲ و پلاریزه VH در ستینل-۱ در مناطقی که دارای پوشش گیاهی با تراکم کمتر از 40% است بسیار بیشتر از حساسیت پلاریزه HH آلوس-۲ و پلاریزه VH ستینل-۱ است. همچنین حساسیت پلاریزه HH تصاویر پالسار-۲ و پلاریزه VH ستینل-۱ به زبری سطح بیشتر از سایر پلاریزاسیون‌ها است. در مدل ابر آب نتایج حاصل از داده ستینل-۱ در حذف تأثیرات پوشش گیاهی و شیوه‌سازی ضرایب باز پرآکنش سطحی بسیار ضعیف است، دلیل این امر در نظر نگرفتن پارامتر زبری توسط مدل ابر آب و همچنین بالا بودن سطح رطوبت در محدوده مطالعاتی بوده که باعث کاهش نفوذ موج گردیده است. نتایج تحقیق نشان داد که حساسیت پلاریزه HH در مناطقی که دارای پوشش گیاهی با تراکم بیش از 40% است بسیار بیشتر از حساسیت پلاریزه HV بوده، همچنین حساسیت سیگنال راداری به نویز در پلاریزه HH کم ولی در پلاریزه HV زیاد بود. این موضوع نشان داد که قطبش همسان HH نسبت به پوشش گیاهی حساس است، بنابراین مدل در حضور پوشش گیاهی از ثبات بیشتری برخوردار خواهد بود. مقایسه دو داده SAR در محدوده نشان داد، تصاویر آلوس-۲ به دلیل طول موج بلند و عمق نفوذ بیشتر در خاک و پوشش گیاهی، برای برآورد رطوبت سطح خاک در محدوده تحقیق و مناطق مشابه کارایی بیشتری دارد. همسو با موضوع پژوهش تحقیقات دیگری صورت گرفته از جمله آلیشان و همکاران در پژوهشی اقدام به برآورد رطوبت سطح خاک در اراضی بایر با استفاده از داده‌های آلوس-۲ و ستینل-۱ کرده‌اند که به این نتیجه رسیدند که مدل WCM در حذف محتوى آب گیاهی و برآورد رطوبت سطح با استفاده از معکوس مدل در هر دو داده آلوس-۲ و ستینل-۱ بالا بوده است. در تحقیقی که توسط زریبی و همکاران صورت گرفته بود نشان دادند که مدل Oh در دو پلاریزه HV و HH با RMSE کمتری قادر به برآورد رطوبت سطح خاک است. این تحقیق برای مدیریت محیط‌زیست، کشاورزی، منابع طبیعی و مدیریت منابع آب مناسب بوده و کمک شایانی به مدل‌سازی‌های هیدرولوژیکی می‌نماید.

واژه‌های کلیدی: رطوبت سطح خاک، سنجنده پالسار-۲ آلوس، ستینل-۱، مدل او، مدل ابر آب

حاصل از مدل باز پرآکنش سطحی با رطوبت وزنی در محل و مطالعات پیشین مورد ارزیابی قرار گرفت.

نتایج و بحث در بخش حساسیت سیگنال رادار به رطوبت سطح خاک در مدل Oh در پلاریزاسیون HH و HV تصاویر پالسار-۲، در $\sigma_{HH}^0 = 0.86$ و $R^2 = 0.905$ با $\sigma_{HV}^0 = 0.91$ و $R^2 = 0.93$ به رطوبت سطح خاک حساس است. همچنین حساسیت باز پرآکنش سطحی مدل Oh در پالسار-۲ در پلاریزه HV با $R^2 = 0.96$ و در پلاریزه VH با $R^2 = 0.94$ به رطوبت سطح خاک حاصل از مدل ابر آب و رطوبت اندازه‌گیری شده در پلاریزاسیون HH و HV تصاویر پالسار-۲، در σ_{HH}^0 و σ_{HV}^0 به ترتیب با $R^2 = 0.399$ و $R^2 = 0.399$ و برای داده ستینل-۱ در پلاریزاسیون VH با $R^2 = 0.73$ و $R^2 = 0.73$ به رطوبت VH، در σ_{VH}^0 و σ_{VH}^0 به ترتیب با $R^2 = 0.13$ و $R^2 = 0.13$ به رطوبت سطح خاک حساس است. در بخش برآورد رطوبت خاک مبتنی بر مدل Oh برای داده پالسار-۲ و ستینل-۱ در اراضی لخت در پلاریزاسیون HH و HV برای تصاویر پالسار-۲، σ_{HH}^0 و σ_{HV}^0 به ترتیب با $R^2 = 0.88$ و $R^2 = 0.924$ [vol. %] و $RMSE = 1.924$ [vol. %] و $RMSE = 0.93$ و $R^2 = 0.93$ و برای داده ستینل-۱، σ_{VH}^0 و σ_{VH}^0 به ترتیب با $R^2 = 0.97$ و $RMSE = 0.90$ [vol. %] است. نتایج مدل Oh نشان داد که در پلاریزاسیون HV تصاویر پالسار-۲ و پلاریزه VH ستینل-۱ نتایج رطوبت خاک قوی‌تر است. نتایج رطوبت خاک در مدل WCM در اراضی دارای پوشش گیاهی برای تصاویر پالسار-۲ در پلاریزاسیون HH و HV در σ_{HH}^0 و σ_{HV}^0 به ترتیب با $R^2 = 0.44$ [vol. %] و $RMSE = 2.44$ [vol. %] و $RMSE = 0.78$ و $R^2 = 0.78$ [vol. %] و $RMSE = 0.81$ و $R^2 = 0.81$ [vol. %] در σ_{VH}^0 و σ_{VH}^0 به ترتیب با $R^2 = 0.75$ و $RMSE = 2.74$ [vol. %] و $RMSE = 2.69$ [vol. %] است. در بحث برآورد رطوبت خاک با مدل WCM نتایج پالسار-۲ در پلاریزه HH با $R^2 = 0.81$ و $RMSE = 0.81$ در اراضی با تراکم پوشش گیاهی بیشتر از 40% درصد دارای نتیجه بهتری است.

نتیجه‌گیری در مدل Oh نتایج تحقیق نشان داد که حساسیت پلاریزه

لطفاً به این مقاله استناد کنید: سیگنال، س، فدایی، ه، سعدالدین، ا، بردى شیخ، و، چوقی بایرام، ک. ۱۴۰۱. مقایسه برآورد رطوبت سطح خاک در اراضی کشاورزی آق‌قلابا استفاده از تصاویر SAR (پالسار-۲ آلوس و ستینل-۱)، نشریه سنجش از دور و سامانه اطلاعات جغرافیایی در منابع طبیعی، ۱۳(۱): ۲۰-۱.

مقدمه

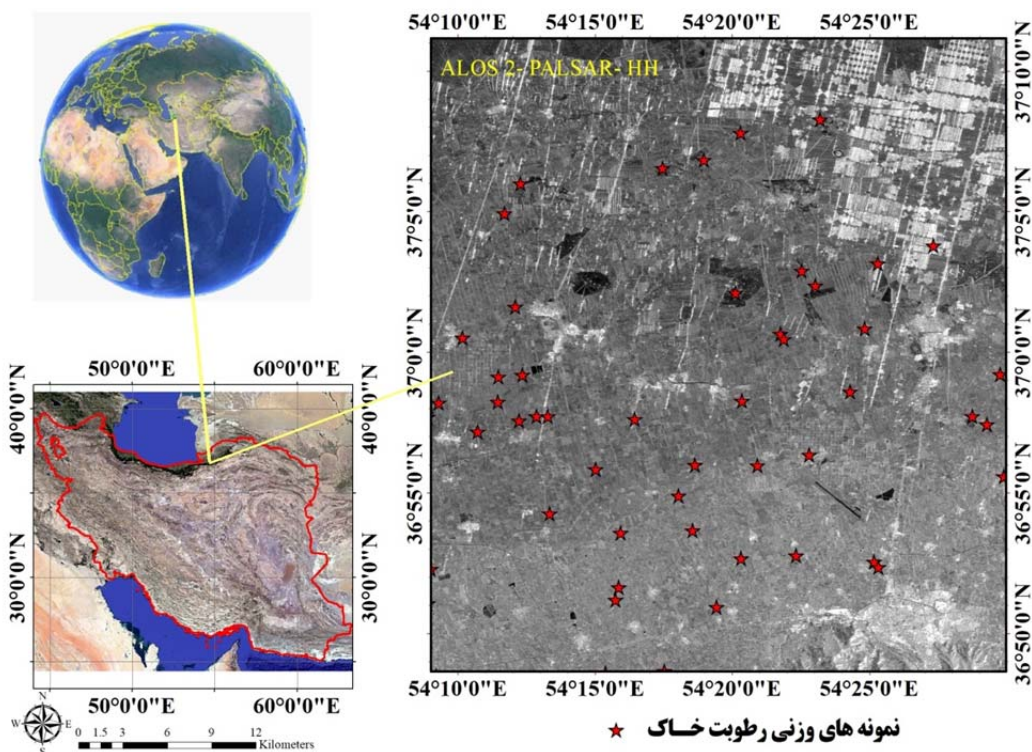
بالا مشاهده می شود (۳ و ۷). وقتی یک موج راداری به سطح زمین برخورد می کند بخشی از آن برگشت و بخشی دیگر از جسم عبور می کند، مهم ترین عوامل در تعیین این نوع برهم کش، بزرگی ضریب دی الکتریک و زیری سطح است. در این شرایط بزرگی ضریب دی الکتریک میزان باز پراکنش و زیری سطح جهت آن را تعیین می کند. ثابت دی الکتریک یک محیط معیاری از پاسخ آن محیط به حضور میدان الکتریکی است. ثابت دی الکتریک خاک تابعی از بافت خاک، رطوبت خاک، فرکانس راداری است. تغییرات کوچک در رطوبت خاک می تواند تا حد زیادی گذردهی الکتریکی پیچیده خاک را تغییر دهد. ثابت دی الکتریک خاک شامل دو بخش حقیقی و مجازی است. بخش حقیقی ثابت دی الکتریک که می تواند از ۲/۵ برای خاک بسیار خشک تا ۲۵ برای خاک بسیار مرطوب تغییر کند و تابعی از ترکیب خاک و فرکانس ماکروویو است. ثابت دی الکتریک بر روی ضریب باز پراکنش راداری تأثیر می گذارد اولابی و همکاران (۳۳). زیری سطح تغییرات پستی و بلندی های کوچک در سطح بوده که در فرآیندهای نفوذ مؤثر است. زیری سطح به زاویه فرود حساس است. مطالعات متعددی ثابت کرد هاند که سیگنال رادار در زوایای فرود بالا نسبت به زوایای فرود پایین به زیری سطحی حساس تر است (۳، ۵، ۱۳، ۱۶، ۳۳ و ۳۶). توصیف زیری خاک عمدهاً بر اساس دو پارامتر Root Mean آماری است: جذر میانگین مربعات ارتفاع (Correlation Length) و طول همبستگی (Square Height) است. مشکل اصلی در بازیابی رطوبت خاک تأثیر زیری سطح و پوشش گیاهی برای تعیین رابطه بین ضریب باز پراکنش راداری و رطوبت خاک است (۲۱). منطقه مورد مطالعه بخشی از اراضی زراعی حوزه آبخیز آق قلا است. از مدل نیمه تجربی Oh و مدل ابر آب (Water Cloud Model, WCL) برای برآورد رطوبت خاک استفاده شده است. از عمدۀ مشکلات منطقه شبی در حدود ۳ درصد و تجمع رواناب بوده که موجب شکل گیری سیل و خسارت می گردد. هدف اصلی این مطالعه مقایسه داده SAR در باند L و C برای تخمین رطوبت سطح خاک است.

رطوبت سطح خاک عاملی مهم در فرآیند تبادل انرژی بین زمین و اتمسفر بوده که بر تبخیر و تعرق، انتقال آب و چرخه کردن اثر کنترلی قوی دارد (۲۰، ۲۱ و ۲۲). رطوبت خاک به عنوان یک جز مهم چرخه آب اکوسیستم های خشکی شرایط اساسی برای رشد و توسعه گیاه و همچنین یک شاخص مهم برای مطالعه تنش آبی گیاه است (۲۱ و ۳۵). نظارت دقیق بر رطوبت خاک در یک منطقه بزرگ اهمیت زیادی در زمینه های هیدرولوژی، هواشناسی و کشاورزی دارد (۳۲). پایش رطوبت سطح خاک با اندازه گیری های میدانی به دلیل نقطه ای بودن، نمی تواند بیانگر رطوبت خاک در مقیاس منطقه ای باشد در حالی که سنجش از دور اندازه گیری های رطوبت فناوری سنجش از دور مدل های متعددی برای تخمین رطوبت خاک در اراضی عاری و پوشیده شده از پوشش گیاهی ایجاد گردیده است (۳۴). از جمله مدل های که برای اراضی لخت پیشنهاد شده اند، مدل نیمه تجربی اووه و همکاران (۲۳، ۲۵ و ۲). مدل تجربی دوبوئیس و همکاران (۱۴) و مدل های فیزیکی که شامل مدل معادله انتگرال (Integration equation model) فانگ و چن (۱۷)، مدل معادله انتگرال پیشرفت (Adapted integration equation model) چن و همکاران (۱۱)، پتینو و همکاران (۲۹)، چوکر و همکاران (۱۲) و هی و همکاران (۱۸) و مدل بغدادی و همکاران (۶) را می توان نام برد. الگوریتم های مختلفی برای بازیابی رطوبت خاک برای چندین ماهواره در باندهای X-C-L توسعه داده شده اند که همگی قادرند رطوبت خاک را بسته به مشخصات سنجنده برآورد نمایند. عوامل تأثیرگذار در باز پراکنش راداری تو سط پارامترهای سیستم رادار شامل طول موج، زاویه فرود، پلاریزاسیون و پارامترهای هدف شامل ثابت دی الکتریک، زاویه فرود محلی، لایه پوشش گیاهی و زیری سطح تحت تأثیر قرار می گیرد (۲۱ و ۳۶). مطالعات متعددی رفتار سیگنال رادار را به عنوان تابعی از محتوای رطوبت خاک تحلیل کرده اند. حساسیت شدید سیگنال در زوایای فرود پایین، بین ۲۰ تا ۳۵ درجه، نسبت به زوایای فرود

نیمه‌خشک معتدل و متوسط بارندگی منطقه ۲۳۰/۵ میلی‌متر، از لحاظ فیزیوگرافی دارای تپه‌های لسی با منشأ بادی است. محصولات عمده آن گندم، برنج، پنبه، حبوبات، نباتات علوفه‌ای، سیب‌زمینی و دانه‌های روغنی است که از طریق کشت آبی و دیم به دست می‌آید.

منطقه مورد مطالعه

محدوده تحقیق با مساحت ۲۴۷۲ کیلومترمربع بین ۱۴°۵۴' تا ۱۵°۰۱' طول شرقی و ۵۵°۳۶' تا ۳۷°۳۰' عرض شمالی در شمال استان گلستان قرار دارد. حداقل ارتفاع از سطح دریا ۱۲- متر و متوسط دمای سالیانه ۱۹/۰/۱ درجه سانتی‌گراد است. اقلیم منطقه بر اساس طبقه‌بندی آمیرزه اقلیم



شکل ۱. محدوده مطالعه در کشور و استان گلستان

Fig.1.Study area in the country and Golestan province

گ‌مایی (Thermo Gravimetric method) معروف بوده محاسبه می‌گردد.

$$SSM = \left(\frac{W_{wet} - W_{dry}}{W_{dry}} \right) \times 100 \quad [1]$$

در این رابطه، SSM (Soil surface moisture) رطوبت حجمی خاک، W_{wet} وزن نمونه مرطوب و W_{dry} وزن نمونه خشک است.

اندازه‌گیری میدانی رطوبت خاک به روش وزنی رطوبت سطح خاک به روش وزنی در سطوح اراضی زراعی در عمق ۵ سانتی‌متری هم‌زمان تصویربرداری هر دو داده اندازه‌گیری شد. از روش نمونه‌گیری خوش‌های تصادفی برای محدوده مطالعاتی استفاده شد. هر واحد نمونه معرف نمونه مشابه آن در مقیاس بزرگ‌تر به فاصله حداقل ۲ کیلومتر در واحد مطالعاتی بهمنظور جلوگیری از خودهمبستگی است. نمونه‌ها وزنی با استفاده از رابطه ۱ که به روش گرانی سنجی

<https://earthexplorer.usgs.gov> و <https://auig2.jaxa.jp/ips/home>. دریافت شد. برای استخراج ضرایب بازپراکنش راداری برحسب دسیبل به ترتیب در پالریزاسیون HH-HV و C-SAR در باند C VV-VH استفاده شد. عملکرد سنجنده C-SAR معادل با طول موج ۵/۰۴ سانتی متر و فرکانس ۵/۴۰۵ گیگاهرتز است عملکرد سنجنده پالسار-۲ از آلوس در باند L معادل با طول موج ۲۲/۶ سانتی متر و فرکانس ۱/۲۳ گیگاهرتز است. مشخصات داده ها مطابق جدول ۱ است. قدرت تفکیک مکانی SNAP (Sentinels Application Platform) هر سه داده ۱۰ متر در نظر گرفته شد. از نرم افزار ESA (Earth Observation Satellite Application Platform) سازمان فضایی اروپا برای پیش پردازش داده های SAR شامل حذف نویز حرارتی، کالیبراسیون رادیو متريکی جهت تبدیل مقادیر دیجیتال تصاویر خام به ضرایب باز پراکنش راداری برحسب دسیبل، اعمال فیلتر لی با ابعاد ۵×۵ جهت کاهش نویز، تصحیح هندسی با استفاده از مدل رقومی ارتفاعی زمین با تفکیک مکانی ۳۰ متر SRTM استفاده شد سپس در محل هر خوش میانگین ضرایب باز پراکنش راداری و زاویه فروود استخراج شد. از داده Sentinel-2B ضمن تصحیح رادیو متريکی و اتمسفری، شاخص پوشش گیاهی تفاضلی نرمال (Normalized difference vegetation index, NDVI) شده Enhanced vegetation index، EVI و شاخص آب تفاضلی نرمال شده (Normalized difference water index, NDWI) جهت استفاده در مدل ابر آب استخراج گردید.

اندازه گیری زیری سطح

اندازه گیری های زیری با استفاده از دوربین دیجیتال با یک زاویه مایل انجام شد. در محل هر نمونه دو پلات با ابعاد ۲×۲ متر مربع با همپوشانی طولی ۶۰-۴۰ درصد و همپوشانی عرضی ۲۰-۳۰ درصد با ۱۰ نقطه کترول زمینی انتخاب گردید. به منظور ارائه نتایج دقیق زیری سطح، پروفیل که دو مورد آن موازی با جهت ردیفها و سه مورد دیگر در جهت عمود بر ردیفها برای هر سایت ثبت شد. سپس اندازه گیری از هر ایستگاه انجام شد و میانگین این اندازه گیری ها در تحلیل هر محل مورد استفاده قرار گرفت. درنهایت یکی از پارامتر های مهم زیری، یعنی ریشه میانگین مربعات ارتفاع (HRMS)، با استفاده از رابطه ۲ محاسبه گردید. مقدار میانگین ارتفاعی ناهمواری های سطح ۰/۲-۰/۳ سانتی متر است.

$$\text{RMSheight} = S = \sqrt{\frac{\sum_{i=1}^n (z_i - \bar{z})^2}{n-1}} \quad [2]$$

که در این رابطه: z_i ارتفاع نقطه i است که نسبت به یک سطح مبنا تعریف می شود این سطح مبنا می تواند سطح کمینه ارتفاع، سطح متوسط ارتفاعی و یا یک سطح با الگوی پریودیک باشد که همان بخش معین زیری سطح است. \bar{z} متوسط ارتفاعات نسبت به یک سطح مبنا بوده و n تعداد نقاط است.

داده های مورد استفاده

در این مطالعه سنجنده پالسار-۲ از آلوس و سنجنده Sentinel-۱ و ۲ به ترتیب از سایت

جدول ۱. مشخصات داده های ماهواره ای مورد استفاده در تحقیق

Table 1. The general specifications of the satellite data used in the study

داده مورد استفاده	داده مورد استفاده	تاریخ اخذ داده	زاویه فروود	پالریزاسیون / باند	قدرت تفکیک زمانی	قدرت تفکیک مکانی (متر/متر)
PALSAR2-ALOS	۱۳۹۹/۰۱/۲۶	۳۰-۹۰		HH-HV	۱۴ روزه	5.1 × 4.3
Sentinel-1	۱۳۹۹/۰۱/۲۸	۲۰-۴۵		VV-VH	۱۴ روزه	5 × 20
Sentinel-2B	۱۳۹۹/۰۱/۲۸	-		باند طیفی ۱۳	۱۰ روزه	10 × 10

$$q = \frac{\sigma_{HV}^{\circ}}{\sigma_{VV}^{\circ}} = 0.1 \left(\frac{Hrms}{L} + \sin 1.3\theta \right)^{1.2} (1 - e^{-0.9(kHrms)^{0.8}}) \quad [8]$$

$$\sigma_{HV}^{\circ} = \quad [9]$$

$0.11 m_v^{0.7} \cos^{2.2}\theta (1 - e^{-0.32(kHrms)^{1.8}})$

اوه و کي (۲۴) نشان دادند که اندازه گيري طول همبستگي دقیق نیست و نسبت q به پارامتر زیری $\frac{Hrms}{L}$ حساس نیست؛ بنابراین، اوه (۲۳) یک رابطه جدید برای q پیشنهاد دادند که طول همبستگی (L) را در نظر نمی گیرد و با رابطه ۱۰ محاسبه می گردد.

$$q = \frac{\sigma_{HV}^{\circ}}{\sigma_{VV}^{\circ}} = 0.095 (0.13 + \sin 1.5\theta)^{1.4} (1 - e^{-1.3(kHrms)^{0.9}}) \quad [10]$$

رابطه کلی برای بازیابی ضریب باز پراکنش برابر رابطه ۱۱ و ۱۲ است.

[۱۱]

$$\sigma_{VV}^{\circ} = \frac{0.11 m_v^{0.7} \cos^{2.2}\theta (1 - e^{-0.32(kHrms)^{1.8}})}{0.095 (0.13 + \sin 1.5\theta)^{1.4} (1 - e^{-1.3(kHrms)^{0.9}})} \quad [12]$$

$$\sigma_{HH}^{\circ} = p \sigma_{VV}^{\circ} = \frac{p}{q} \sigma_{HV}^{\circ}$$

پارامتر ناهمواری سطح با رابطه ۱۳ محاسبه می گردد.

$$k.Hrms = (\theta, m_v, \sigma_{VHM}^{\circ}) = \left[-3.125 \ln \left\{ 1 - \frac{\sigma_{VHM}^{\circ}}{0.11 m_v^{0.7} (\cos \theta)^{2.2}} \right\} \right]^{0.556} \quad [13]$$

که در این رابطه؛ σ_{VHM}° توسط پلاریزه VH اندازه گیری می شود و از رابطه ۱۴ می توان m_v را تخمین زد.

[۱۴]

$$1 - \left(\frac{\theta}{90^\circ} \right)^{0.35 m_v^{-0.65}} \cdot e^{-0.4} [k.Hrms(\theta, m_v, \sigma_{VHM}^{\circ})]^{1.4} - p_m = 0$$

در این رابطه؛ p_m نشان دهنده نسبت کوپلاریزه و $k.Hrms(\theta, m_v, \sigma_{VHM}^{\circ})$ به وسیله رابطه ۱۳ محاسبه می شود. مدل Oh برای بازه های $0.13 \leq kHrms \leq 6.98$ مدل باز پراکنش سطحی اوه (Oh) می باشد.

اندازه گیری ضرایب باز پراکنش سطحی

مدل باز پراکنش سطحی اوه (Oh)

مدلی Oh یک مدل نیمه تجربی بوده که در قالب چند نسخه توسط Oh و همکارانش در بین سال های ۱۹۹۲ تا ۲۰۰۴ جهت مدل سازی باز پراکنش راداری توسعه داده شده است (۲۳ و ۲۷). این مدل بر اساس مدل های ضرایب باز پراکنش ثئوری SPM و KM و از تلفیق با داده های آزمایشگاهی و یک بسط از مدل های تجربی در سه فرکانس $1/5$ ، $4/5$ و $9/5$ گیگاهرتز که فاز و دامنه ضرایب باز پراکنشی را شامل می شود، ایجاد شده است. این مدل نسبت های کوپلاریزه $(\sigma_{HH}^{\circ}/\sigma_{VV}^{\circ})$ و $p = (\sigma_{HV}^{\circ}/\sigma_{VV}^{\circ})$ را به زاویه فرود (θ)، L عدد موج، (S) یا (Hrms) جذر میانگین مربعات ارتفاع، طول همبستگی و m_v رطوبت خاک و ثابت دی الکتریک ارتباط می دهد. نسخه ابتدایی مدل Oh به وسیله رابطه ۴ و ۵ تعریف می شود (۲۵).

$$p = \frac{\sigma_{HH}^{\circ}}{\sigma_{VV}^{\circ}} = \left[1 - \left(\frac{2\theta}{\pi} \right)^{3\Gamma^\circ} \cdot e^{-ks} \right]^2 \quad [3]$$

$$q = \frac{\sigma_{HV}^{\circ}}{\sigma_{VV}^{\circ}} = 0.23\sqrt{\Gamma^\circ} (1 - e^{-ks}) \quad [4]$$

در این رابطه؛ Γ° ضریب بازتابندگی فرنسل در نadir $\theta = 0$ است و برابر رابطه ۵ محاسبه می گردد.

$$\Gamma^\circ = \left| \frac{1 - \sqrt{\varepsilon}}{1 + \sqrt{\varepsilon}} \right|^2 \quad [5]$$

اوه و همکاران (۲۶) به منظور توسعه مدل یک عبارت جدید برای q جهت تأثیر زاویه فرود برابر رابطه ۶ ارائه نمودند.

$$q = \frac{\sigma_{HV}^{\circ}}{\sigma_{VV}^{\circ}} = 0.25 \sqrt{\Gamma_0} (0.1 + \sin^{0.9}\theta) (1 - e^{-[1.4 - 1.6\Gamma_0]kHrms}) \quad [6]$$

اوه و همکاران (۲۷) مجدداً عبارات p و q را اصلاح و رابطه ۷ و ۸ را پیشنهاد دادند.

$$p = \frac{\sigma_{HH}^{\circ}}{\sigma_{VV}^{\circ}} = 1 - \left(\frac{\theta}{90^\circ} \right)^{0.35 m_v^{-0.65}} \cdot e^{-0.4(kHrms)^{1.4}} \quad [7]$$

تجربی ابر آب مطابق روابط ۲۲ تا ۲۵ است. در بیشتر مطالعات، نویسنده‌گان عمدتاً از محتوای آب گیاهان پالوسیکا و همکاران (۲۸)، سیکدر و کومینگ (۳۱) و آلیسان و همکاران (۱)، ساخت سطح برگ چامپیون و گویوت (۱۰) و پرتو و همکاران (۳۰) و شاخص تفاضلی نرمал شده پوشش گیاهی بغدادی و همکاران (۴) و آل جاجی و همکارا (۱۵) استفاده نموده‌اند.

$$\sigma^{\circ} = \sigma_{\text{veg}}^{\circ} + \gamma^2 \sigma_{\text{soil}}^{\circ} \quad [22]$$

$$\sigma_{\text{veg}}^{\circ} = A m_v \cos(\theta) (1 - \gamma^2) \quad [23]$$

$$\gamma^2 = \exp(-2B m_v \sec \theta) \quad [24]$$

$$\sigma_{\text{soil}}^{\circ} (\text{dB}) = C + D \cdot \text{SSM} \quad [25]$$

در این رابطه، σ° کل ضرایب بازپخشی، $\sigma_{\text{veg}}^{\circ}$ سهم گیاه در ضریب بازپخشی، $\sigma_{\text{soil}}^{\circ}$ سهم خاک، γ^2 گذردهی گیاهی SSM دو طرفه، m_v محتوی آب گیاه برحسب kg/m^2 و SSM kg/m^2 رطوبت سطح خاک [vol. %] است. پارامتر A و B پارامترهای تجربی مدل بوده که به جنس پوشش گیاهی بستگی دارد (۸). پارامترهای C و D با ایجاد یک رابطه خطی بین ضریب باز پراکنش سطحی و رطوبت سطح خاک محاسبه گردید. در این تحقیق از پارامترهای گیاهی محاسبه شده توسط بیندلیش با مقادیر $A = 0.0012$ و $B = 0.091$ استفاده شده است.

تجزیه و تحلیل آماری

در تحقیق حاضر، تجزیه و تحلیل آماری با استفاده از دو روش کیفی انجام شده است، ضریب تعیین و ریشه دوم میانگین مربع خطای ضریب تعیین طبق رابطه ۲۶ تعریف می‌شود.

$$R^2 = \left(\frac{\sum_{i=1}^N (x_i - \bar{x})(y_i - \bar{y})}{\sqrt{\sum_{i=1}^N (x_i - \bar{x})^2} \sqrt{\sum_{i=1}^N (y_i - \bar{y})^2}} \right)^2 \quad [26]$$

در این رابطه، x_i و y_i نقاط نمونه‌برداری با متغیر i از N تعداد نقاط نمونه‌برداری، \bar{x} میانگین نمونه‌های x_i و \bar{y} میانگین نمونه‌های y_i .

(۲۴). در این تحقیق برای ستینل-۱ از روابط اوله (۲۳) و در پالسار-۲ از روابط ۲۱ تا ۲۴ استفاده شده است.

[۱۵]

$$\sigma_{\text{HV}} = 0.23 \sqrt{\Gamma_0} (1 - \exp(-ks)) \frac{g \cos^3 \theta}{\sqrt{P}} (\Gamma_h + \Gamma_v) \quad [16]$$

$$\sigma_{\text{HH}} = \sqrt{P} g \cos^3 \theta (\Gamma_h + \Gamma_v) \quad [17]$$

$$P = \left(1 - \left(\frac{2\theta}{\pi} \right)^{1/3r_0} \exp(-ks) \right)^2 \quad [18]$$

$$g = 0.7 [1 - \exp(-0.65(ks)^{1.8})] \quad [19]$$

$$\Gamma_0 = \left| \frac{1 - \sqrt{\varepsilon}}{1 + \sqrt{\varepsilon}} \right|^2 \quad [20]$$

$$\Gamma_h = \left| \frac{\cos \theta - \sqrt{\varepsilon(1 - \sin^2 \theta)}}{\cos \theta + \sqrt{\varepsilon(1 - \sin^2 \theta)}} \right|^2 \quad [21]$$

$$\Gamma_v = \left| \frac{\cos \theta - \sqrt{\frac{1}{\varepsilon}(1 - \sin^2 \theta)}}{\cos \theta + \sqrt{\frac{1}{\varepsilon}(1 - \sin^2 \theta)}} \right|^2$$

در این رابطه، θ زاویه فرود برحسب درجه، S یا ناهمواری سطح، k عدد موج در فضای آزاد و مقدار آن برابر است با $k = 2\pi/\lambda$ و ε ثابت دی‌الکتریک، Γ_h و Γ_v به ترتیب بازتاب پذیری عمودی و افقی فرنسل است.

مدل نیمه تجربی ابر آب (WCM)

مدل ابر آب یک مدل نیمه تجربی است و برای مدل‌سازی نقش گیاهان در تعیین رطوبت خاک به کار می‌رود. مدل ابر آب به وسیله سیگنال باز پراکنش راداری در مقیاس خطی تعریف می‌شود. برای تخمین پارامترهای تجربی مدل از روش کمترین مربعات و برآورد رطوبت سطح خاک از معکوس مدل استفاده می‌شود (۴، ۲۸ و ۳۶). روابط مدل نیمه

رطوبت اندازه‌گیری شده در محل و شکل ۳ رابطه بین ضریب باز پراکنش سطحی مدل و زبری سطح خاک اندازه‌گیری شده برای پلاریزاسیون HV، HH و VH را نشان می‌دهد. برابر شکل ۲، تصاویر پالسار-۲، در با $\sigma_{\text{HH}}^{\circ} = 0.86$ ، $R^2 = 0.90$ با $R^2 = 0.90$ و برای داده ستینیل-۱، در با $\sigma_{\text{VH}}^{\circ}$ با $R^2 = 0.93$ به رطوبت سطح خاک حساس است. زبری سطح خاک با ضریب باز پراکنش راداری دارای رابطه لگاریتمی است. نتایج تحقیق نشان داد، حساسیت تصاویر پالسار-۲ در پلاریزه HV و حساسیت ستینیل-۱ در پلاریزه VH در مدل Oh به رطوبت سطح خاک نسبت به سایر پلاریزه‌ها زیادتر است. همچنین حساسیت باز پراکنش سطحی مدل Oh در تصاویر پالسار-۲ در HH با $R^2 = 0.96$ و در پلاریزه HV با $R^2 = 0.94$ و برای ستینیل-۱ در پلاریزه VH با $R^2 = 0.72$ و در پلاریزه HV به زبری سطح حساس است. حساسیت پلاریزه HH به زبری سطح خاک بیشتر از سایر پلاریزاسیون‌ها است. حساسیت سیگنال رادار به رطوبت سطح خاک و زبری سطح تا حد زیادی بر اساس زاویه فرود متفاوت است و نتایج حساسیت باز پراکنش رادار به رطوبت سطح خاک و زبری سطح می‌تواند از یک سایت به سایت دیگر و بسته به مشخصات داده تغییر کند؛ بنابراین در استفاده از داده‌های SAR استفاده از زوایای فرود پایین، برای تخمین رطوبت سطح خاک مناسب‌تر هستند این موضوع در مطالعات بغدادی و همکاران (۵) و هولا و همکاران (۱۹) نیز اثبات گردیده است.

ریشه دوم میانگین مریع خطأ طبق رابطه ۲۷ تعریف می‌شود.

$$\text{RMSE} = \sqrt{\frac{1}{N} \sum_{i=1}^N (P_i - O_i)^2} \quad [27]$$

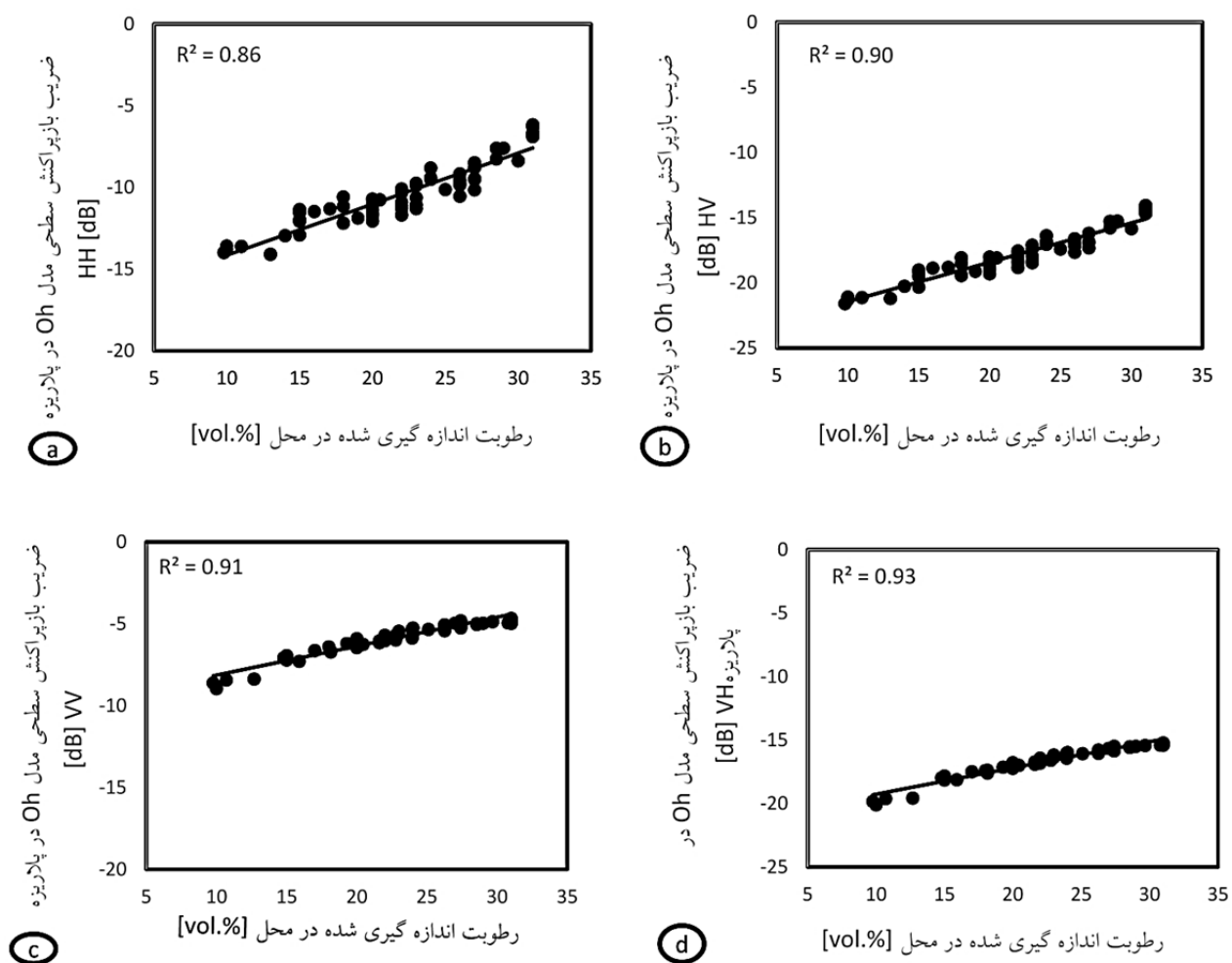
در این رابطه؛ N تعداد نمونه‌ها، P_i تعداد نمونه‌های شبیه‌سازی شده در آن، O_i تعداد نمونه‌های اندازه‌گیری شده در آن. هدف از بررسی داده‌ها بدین‌جهت است تا اطمینان حاصل شود که داده‌ها از یک توزیع نرمال پیروی می‌کنند و سپس نسبت به تجزیه و تحلیل آن‌ها اقدام شود. برای این منظور ابتدا داده‌های رطوبت اندازه‌گیری شده با مقدار داده مشاهداتی رطوبت خاک مقایسه می‌شود. سپس جهت اعتبار سنجی داده‌های مشاهداتی و ارزیابی آن از RMSE استفاده می‌شود.

نتایج و بحث

در این بخش حساسیت سیگنال داده‌های SAR به رطوبت سطح خاک و شبیه‌سازی رطوبت خاک با استفاده از دو مدل نیمه تجربی Oh و WCM موردبحث است. نتایج آماری در جدول ۲ ارائه شده است.

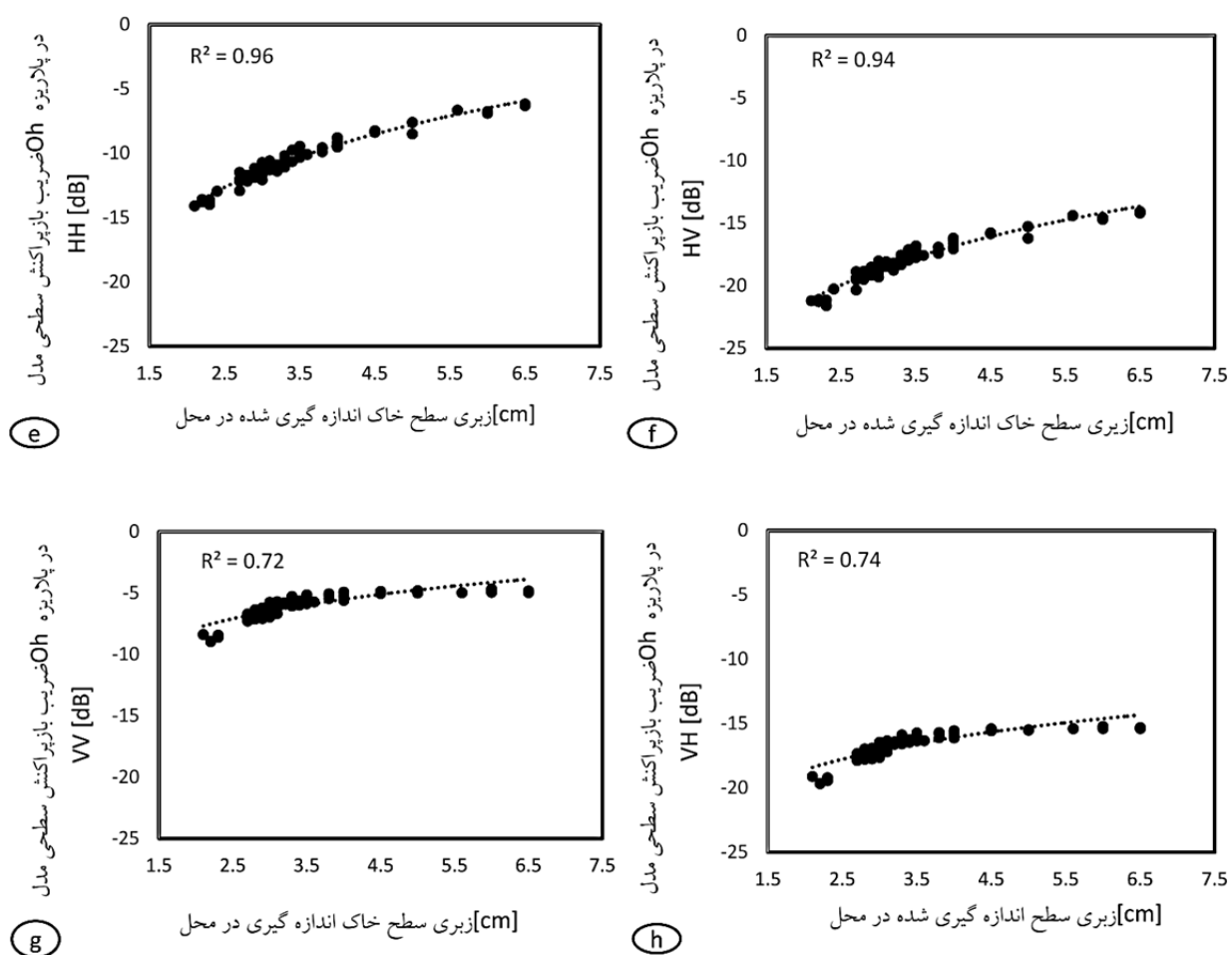
نتایج حساسیت سیگنال رادار به سطوح خاک با تراکم پوشش گیاهی کمتر از ۰/۴

در این بخش حساسیت تصاویر پالسار-۲ از آلوس و ستینیل-۱ نسبت به رطوبت سطح خاک و زبری سطح در اراضی با تراکم پوشش گیاهی کمتر از ۰/۴ مورد بررسی قرار گرفت. شکل ۲ رابطه بین ضریب باز پراکنش سطحی مدل و



شکل ۲. رابطه بین رطوبت اندازه گیری شده در محل با ضرایب باز پردازش سطحی مدل Oh [a-HH] و [b-HV] در پالسار-۲، [c-VV] و [d-VH] در سنتینل-۱.

Fig.2. Relationship between in situ measured SSM and surface Backscattering coefficients of model Oh [a-HH] and [b-HV] in PALSAR2, [c-VV] and [d-VH] in Sentinel-1.



شکل ۳. رابطه بین زیری سطح اندازه گیری شده در محل با ضرایب باز پراکنش سطحی مدل Oh [e-HH] و [f-HV] در پالسار-۲ و [g-VV] و [h-VH] در سنتینل-۱.

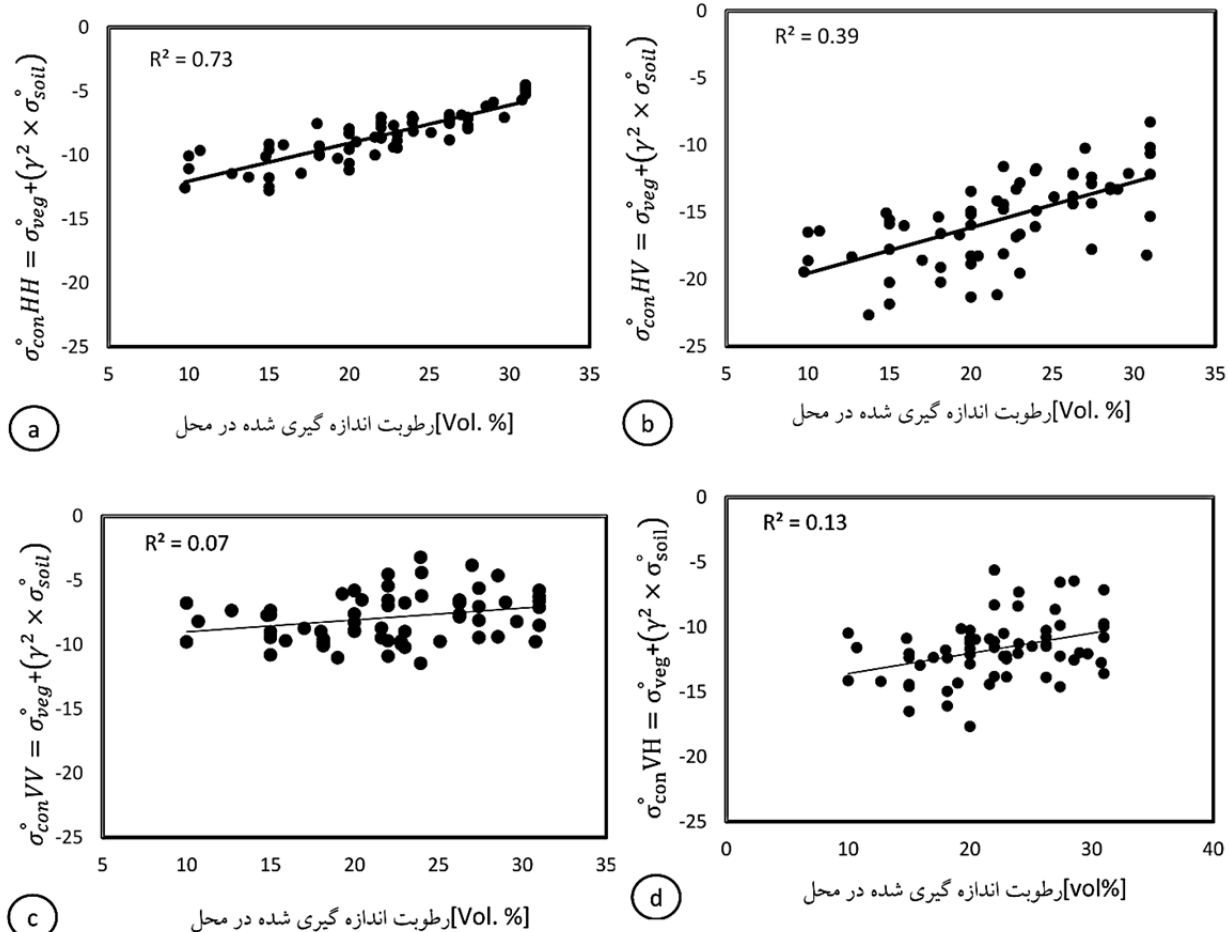
Fig. 3. Relationship between surface roughness's measured at site and surface Backscattering coefficients of model Oh [e-HH] and [f-HV] in PALSAR2 and [g-VV] and [h-VH] in Sentinel-1.

که حساسیت پلاریزه HH در مناطقی که دارای پوشش گیاهی با تراکم بیش از 40% است بسیار بیشتر از حساسیت پلاریزه HV بوده، همچنین حساسیت سیگنال راداری به نویز در پلاریزه HH کم ولی در پلاریزه HV زیاد بود. این موضوع نشان داد که قطبش همسان HH نسبت به پوشش گیاهی از ثبات حساس است، بنابراین مدل در حضور پوشش گیاهی از ثبات بیشتری برخوردار خواهد بود. رابطه بین ضرایب کل باز پراکنش سطحی حاصل از مدل ابر آب و رطوبت اندازه گیری شده در محل در پلاریزاسیون HH و HV برابر شکل ۴ است. برابر شکل 4a و 4b در پلاریزاسیون HH و HV تصاویر پالسار-۲، $R^2 = 0.73$ و σ_{HH}^0 به ترتیب با $R^2 = 0.77$ و $\sigma_{HV}^0 = 0.399$ در پلاریزاسیون شکل 4C و 4D مطابق شکل 4C و 4D است.

نتایج حساسیت ضرایب کل باز پراکنش سطحی مدل ابر آب به سطوح خاک با تراکم پوشش گیاهی بیش از 40% در این بخش حساسیت تصاویر پالسار-۲ و سنتینل-۱ نسبت به رطوبت سطح خاک با تراکم پوشش گیاهی بیش از 40% زیری سطح مورد بررسی است. رابطه بین کل ضرایب باز پراکنش سطحی حاصل از مدل ابر آب و رطوبت اندازه گیری شده در محل در پلاریزاسیون HH و HV برابر شکل ۴ است. برابر شکل 4a و 4b در پلاریزاسیون HH و HV تصاویر پالسار-۲، $R^2 = 0.73$ و σ_{HV}^0 به ترتیب با $R^2 = 0.77$ و $\sigma_{HH}^0 = 0.399$ در پلاریزاسیون شکل 4C و 4D مطابق شکل 4C و 4D است.

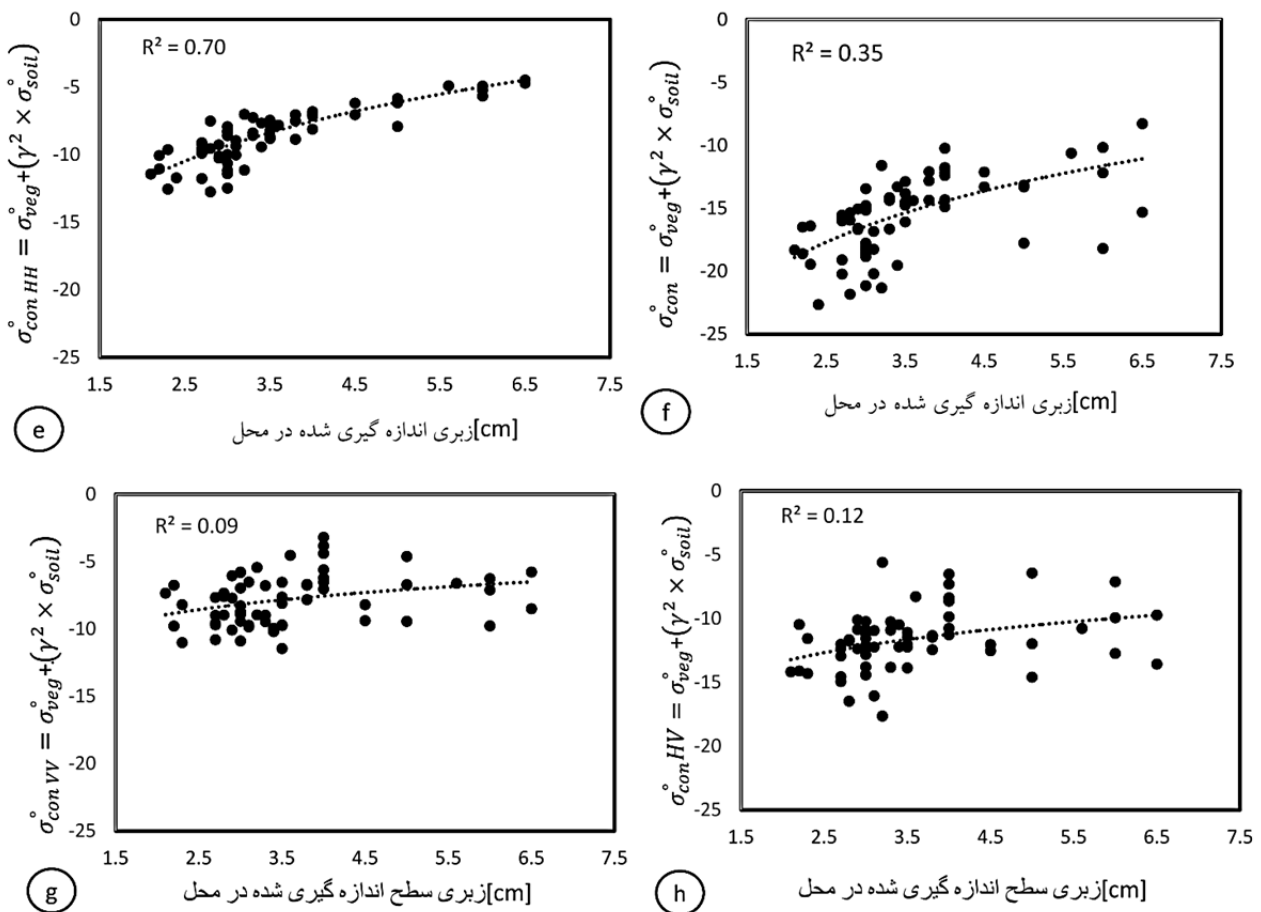
سطح خاک حساس هستند. رابطه بین ضرایب کل باز پراکنش سطحی حاصل از مدل ابر آب و زیری اندازه‌گیری شده در محل در پلاریزاسیون VV و VH در سنتینل-۱ برابر شکل ۵g و ۵h است. برابر شکل ۵g و ۵h در پلاریزاسیون VV و VH، ۵ است. برابر شکل ۵g و ۵h در پلاریزاسیون HH و HV در پالسار-۲ مطابق شکل ۵e و ۵f در سنتینل-۱ به زیری سطح خاک، مطابق شکل ۵e و ۵f در پلاریزاسیون HH و HV در پالسار-۲ به زیری سطح خاک حساس هستند.

VV و σ_{VH}° و $R^2 = 0.73$ به ترتیب با $R^2 = 0.13$ به رطوبت سطح خاک حساس هستند. نتایج حاصل از سنتینل-۱ در حذف تأثیرات پوشش گیاهی بسیار ضعیف است. حساسیت مدل ابر آب نسبت به زیری سطح خاک، مطابق شکل ۵e و ۵f در سنتینل-۱ به زیری $R^2 = 0.39$ و $R^2 = 0.12$ به ترتیب با $R^2 = 0.36$ و $R^2 = 0.70$ به زیری σ_{HH}° و σ_{HV}° به ترتیب با $R^2 = 0.13$ و $R^2 = 0.07$ به زیری سطح خاک حساس هستند.



شکل ۴. رابطه بین رطوبت اندازه گیری شده در محل با ضرایب باز پراکنش سطحی مدل ابر آب. [a-HH] و [b-HV] در پالسار-۲ و [c-VV] و [d-VH] در سنتینل-۱.

Fig. 4. Relationship between Gravimetric soil moisture and WCM surface Backscattering coefficients. [a-HH] and [b-HV] in PALSAR2 and [c-VV] and [d-VH] in Sentinel-1.



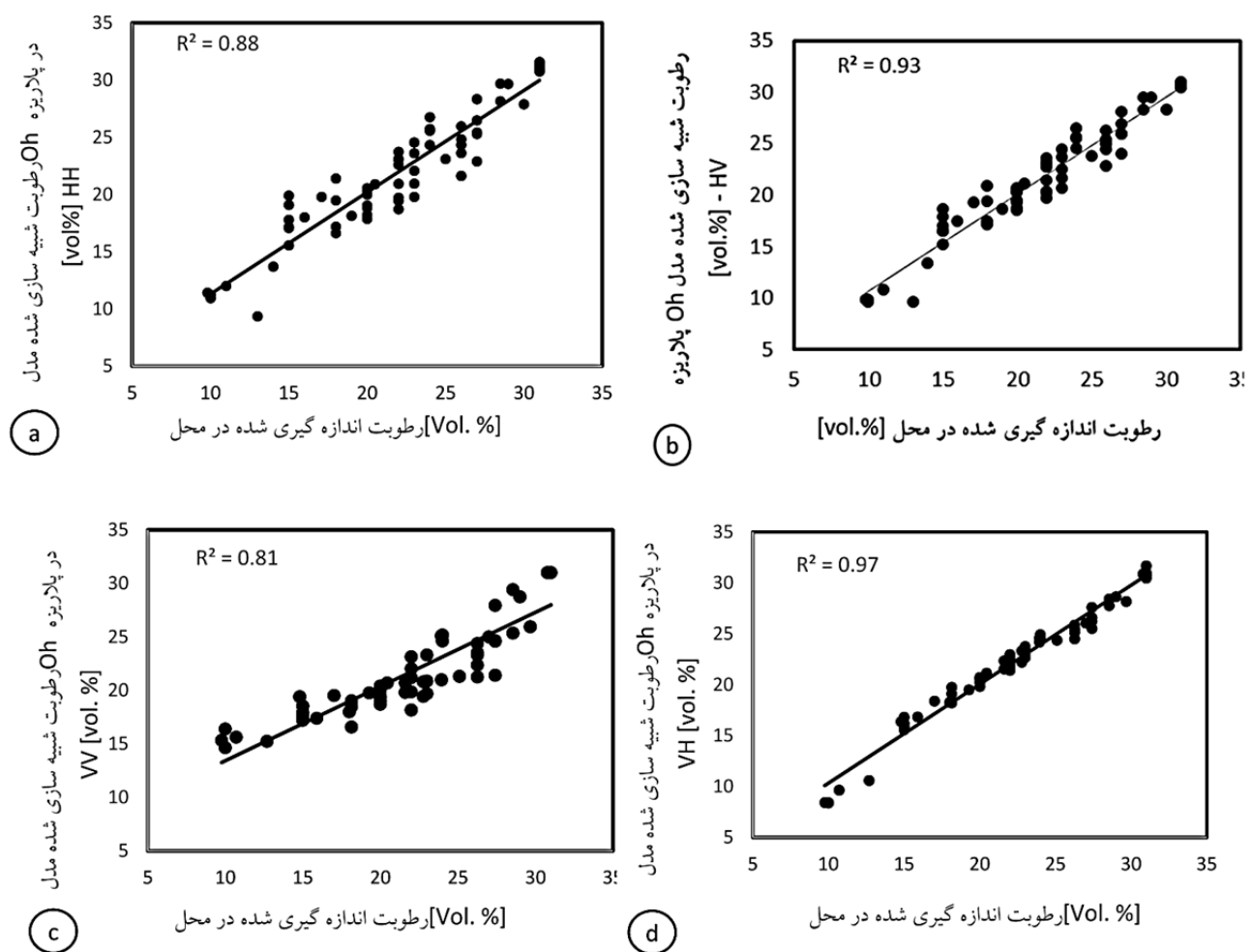
شکل ۵. رابطه بین زبری سطح اندازه گیری شده در محل با خراپ باز پراکنش سطحی مدل ابر آب [e-HH] و [f-HV] پالسار-۲ و [g-VV] و [h-VH] سنتینل-۱.

Fig.5. Relationship between surface roughness's is measured on site and surface backscattering coefficients of model Oh [e-HH] and [f-HV] PALSAR2. [g-VV] and [h-VH] in Sentinel-1.

موردبحث است. رابطه بین رطوبت اندازه گیری شده در محل با رطوبت شبیه‌سازی شده توسط مدل Oh در پلاریزاسیون HH و HV برابر شکل ۶ است. برابر شکل ۶a و ۶b در پلاریزاسیون HV و HH در تصاویر پالسار-۲، $\sigma_{\text{HH}}^{\circ}$ و $\sigma_{\text{HV}}^{\circ}$ به ترتیب با $R^2 = 0.93$ و $R^2 = 0.88$ [vol. %] است. نتایج مدل نشان داد که در پلاریزاسیون HV نتایج رطوبت خاک قوی‌تر است. مطابق شکل ۵c و ۵d در پلاریزاسیون VV و VH برای سنتینل-۱، $\sigma_{\text{VV}}^{\circ}$ و $\sigma_{\text{VH}}^{\circ}$ به ترتیب با $R^2 = 0.97$ و $R^2 = 0.81$ [vol. %] است.

برآورد رطوبت سطح خاک مبتنی بر مدل WCM
نتایج حاصل از مدل‌های نیمه تجربی Oh و HV در استخراج رطوبت سطح خاک ارائه شده است. از مدل Oh برای مناطقی با $NDVI < 0.4$ و برای مدل نیمه تجربی WCM برای مناطق با $NDVI > 0.4$ استفاده شد.

نتایج برآورد رطوبت سطح خاک با مدل Oh
در این بخش بازیابی رطوبت سطح خاک با استفاده از مدل Oh برای تصاویر پالسار-۲ و سنتینل-۱ در اراضی باز



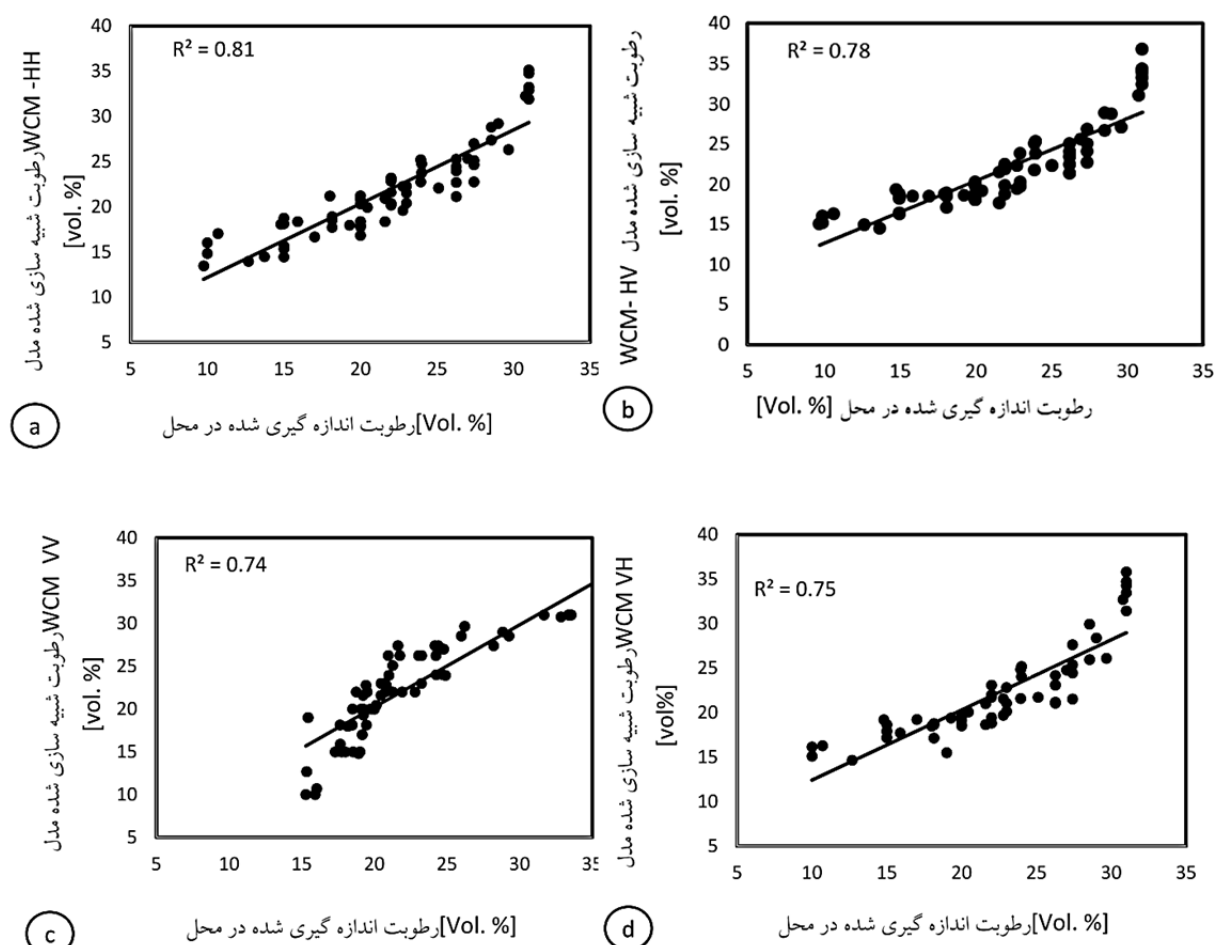
شکل ۶. رابطه بین رطوبت اندازه گیری شده در محل با رطوبت سطح خاک شبیه سازی شده با مدل Oh [a-HH] و [b-HV] تصاویر پالسار-۲، [c-VV] و [d-VH] سنتینل-۱.

Fig.6. Relationship between Gravimetric soil moisture and simulated soil surface moisture with Oh model. [a-HH] and [b-HV] in PALSAR2, [c-VV] and [d-VH] in Sentinel-1.

رطوبت اندازه گیری شده در محل با رطوبت شبیه سازی شده توسط مدل ابر آب در پالریزاسیون HH و HV برابر شکل ۷ است. برابر شکل ۷a و ۷b در پالریزاسیون HH و HV برابر شکل ۷c و ۷d در پالریزاسیون VV و VH برای سنتینل-۱، σ_{HH}^* و σ_{HV}^* به ترتیب با $R^2 = 0.78$ و $R^2 = 0.75$ [vol. %] ترتیب با $R^2 = 0.76$ و $R^2 = 0.74$ [vol. %] است.

نتایج برآورد رطوبت سطح خاک با استفاده از مدل ابر آب (WCM)

مدل WCM برای در نظر گرفتن نقش پوشش گیاهی در سیگنال باز پراکنش سطح بوده که به وسیله آن می‌توان برآورد نسبتاً دقیقی از رطوبت سطح خاک در اراضی پوشیده از گیاه را به دست آورد. در این بخش شبیه سازی رطوبت سطح خاک با استفاده از مدل WCM برای تصاویر پالسار-۲ و سنتینل-۱ در اراضی با پوشش گیاهی متراکم مورده بحث است. رابطه بین



شکل ۷. رابطه بین رطوبت اندازه گیری شده در محل با رطوبت سطح خاک شبیه سازی شده با مدل ابر آب، [a-HH] و [b-HV] در پالسار-۲ و [c-VV] و [d-VH] در سنتینل-۱.

Fig. 7. Relationship between at situ measured SSM and simulated SSM with WCM model, [a-HH] and [b-HV] in PALSAR2 [c-VV] and [d-VH] Sentinel-1.

جدول ۲. نتایج آماری مدل های رطوبت سطح خاک

Table 2. The descriptive statistics for the variables used in the models.

متغیرها	نتایج آماری مدل های Oh و WCM											
	ALOSPALSAR-2 (۱۳۹۹/۰۱/۲۶)						Sentinel-1 (۱۳۹۹/۰۱/۲۸)					
	Oh_HH			Oh_HV			Oh_VV			Oh_VH		
	Min	Max	Mean	Min	Max	Mean	Min	Max	Mean	Min	Max	Mean
رطوبت سطح خاک [Vol. %]	۹/۳۵	۳۱/۰۰	۲۱/۸۴	۹/۶۰	۳۰/۹۵	۲۱/۸۵	۱۵/۲۹	۳۰/۹۸	۲۲/۰۰	۱۴/۶۴	۳۱/۰۰	۲۲/۰۰
زاویه فرود (درجه)	۳۰/۰۵	۳۳/۸۱	۳۱/۷۸	۳۰/۰۵	۳۳/۸۱	۳۶/۶۵	۳۵/۴۶	۳۸/۱۳	۳۶/۶۵	۳۵/۴۶	۳۸/۱۳	۳۶/۶۵
(cm) زبری سطح	۲/۱	۶/۵	۳/۵۵	۲/۱	۶/۵	۳/۵۵	۲/۱	۶/۵	۳/۵۵	۲/۱	۶/۵	۳/۵۵
	WCM_HH			WCM_HV			WCM_VV			WCM_VH		
رطوبت سطح خاک	۱۳/۴۷	۳۰/۰۵	۲۱/۸۸	۱۴/۵۲	۳۱/۰۰	۲۱/۸۷	۱۴/۶۴	۳۱/۰۰	۲۱/۷۵	۸/۳۸	۳۰/۶۶	۲۱/۷۵
زاویه فرود (درجه)	۳۰/۰۵	۳۳/۸۱	۳۱/۷۸	۳۰/۰۵	۳۳/۸۱	۳۱/۷۸	۳۵/۴۶	۳۸/۱۳	۳۶/۶۵	۳۵/۴۶	۳۸/۱۳	۳۶/۶۵
(cm) زبری سطح	۲/۱	۶/۵	۳/۵۵	۲/۱	۶/۵	۳/۵۵	۲/۱	۶/۵	۳/۵۵	۲/۱	۶/۵	۳/۵۵

نتیجه‌گیری

در این تحقیق پتانسیل تصاویر پالسار-۲ و ستینل-۱ به منظور برآورد رطوبت سطح خاک در اراضی با تراکم پوش گیاهی کمتر از $4/0$ و تراکم پوش گیاهی بیش از $4/0$ در محدوده تحقیق موردنرسی و تحلیل قرار گرفت. با استفاده از نمونه‌برداری تصادفی خوش‌های نمونه‌های رطوبت خاک به روشن وزنی، زبری سطح با استفاده از دو دوربین دیجیتال و محتوی آب گیاهی با جمع‌آوری گیاهان در پلات‌های یک مترمربعی در محل هر خوش مطابق بازمان اخذ تصویر SAR اندازه‌گیری شد. تمرکز تحقیق بر روی دو موضوع اساسی حساسیت ضرایب باز پراکنش سطحی تصاویر SAR به رطوبت سطح خاک و برآورد رطوبت سطح خاک مبتنی بر مدل Oh و WCM است. در بخش حساسیت سیگنال رادار به رطوبت سطح خاک در مدل Oh در پلاریزه HV، HH برای تصاویر پالسار-۲ و ستینل-۱ در پلاریزاسیون VV و VH در محدوده‌هایی که دارای $4/0 < NDVI$ بود برسی گردید. در پلاریزاسیون HH و HV تصاویر پالسار-۲، در σ_{HH}^* با $R^2=0/86$ ، σ_{HV}^* با $R^2=0/905$ و برای تصاویر ستینل-۱، در σ_{VV}^* با $R^2=0/91$ ، σ_{VH}^* با $R^2=0/93$ به رطوبت سطح خاک حساس است. نتایج تحقیق نشان داد که حساسیت پلاریزه HV در تصاویر پالسار-۲ و پلاریزه VH در ستینل-۱ در مناطقی که دارای پوشش گیاهی با تراکم کمتر از $4/0$ است بسیار بیشتر از حساسیت پلاریزه HH پالسار-۲ و پلاریزه VV ستینل-۱ است. همچنین حساسیت باز پراکنش سطحی مدل HV در پالسار-۲ در پلاریزه HH با $R^2=0/96$ و در پلاریزه OH با $R^2=0/94$ و برای داده ستینل-۱ در پلاریزه VV با $R^2=0/72$ و در پلاریزه VH با $R^2=0/74$ به زبری سطح حساس است. نتایج تحقیق نشان داد حساسیت پلاریزه HH تصاویر پالسار-۲ و پلاریزه VH ستینل-۱ به زبری سطح بیشتر از سایر پلاریزاسیون‌ها است.

در مناطق دارای پوشش گیاهی که تراکم آن بیشتر از $4/0$ است. رابطه بین کل ضرایب باز پراکنش سطحی حاصل از مدل آبر آب و رطوبت اندازه‌گیری شده در پلاریزاسیون HH و VH

تصاویر پالسار-۲، در σ_{HH}^* به ترتیب با $R^2=0/73$ و $R^2=0/399$ و برای داده ستینل-۱ در پلاریزاسیون VV و VH در σ_{VV}^* و σ_{VH}^* به ترتیب با $R^2=0/13$ و $R^2=0/073$ به رطوبت سطح خاک حساس است. نتایج حاصل از داده ستینل-۱ در حذف تأثیرات پوشش گیاهی و شبیه‌سازی ضرایب باز پراکنش سطحی بسیار ضعیف است، دلیل این امر در نظر نگرفتن پارامتر زبری توسط مدل ابر آب و همچنین بالا بودن سطح رطوبت در محدوده مطالعاتی بوده که باعث کاهش نفوذ موج گردیده است.

نتایج تحقیق نشان داد که حساسیت پلاریزه HH در مناطقی که دارای پوشش گیاهی با تراکم بیش از $4/0$ است بسیار بیشتر از حساسیت پلاریزه HV بوده، همچنین حساسیت HV سیگنال راداری به نویز در پلاریزه HH کم ولی در پلاریزه VH زیاد بود. این موضوع نشان داد که قطبش همسان HH نسبت به پوشش گیاهی حساس است، بنابراین مدل در حضور پوشش گیاهی از ثبات بیشتری برخوردار خواهد بود. رابطه زبری اندازه‌گیری شده در محل با ضرایب باز پراکنش سطحی مدل WCM برای تصاویر پالسار-۲، σ_{HH}^* و σ_{HV}^* به ترتیب با $R^2=0/70$ و $R^2=0/36$ و برای ستینل-۱ در پلاریزاسیون VV و VH، σ_{VV}^* و σ_{VH}^* به ترتیب با $R^2=0/09$ و $R^2=0/12$ به ضرایب باز پراکنش سطحی حساس هستند. نتایج نشان داد که حساسیت ضرایب باز پراکنش سطحی در ستینل-۱ نسبت به زبری سطح بسیار ضعیف است.

در بخش برآورد رطوبت خاک مبتنی بر مدل Oh برای داده‌ی پالسار-۲ و ستینل-۱ در اراضی لخت در پلاریزاسیون HH و HV برای تصاویر پالسار-۲، σ_{HH}^* و σ_{HV}^* به ترتیب با $RMSE=1/45$ [vol. %] و $R^2=0/88$ ، $RMSE=1/924$ [vol. %] و $R^2=0/93$ و برای داده ستینل-۱، σ_{VV}^* و σ_{VH}^* به ترتیب با $RMSE=0/90$ [vol. %] و $R^2=0/81$ ، $RMSE=2/57$ [vol. %] و $R^2=0/97$ است. نتایج مدل Oh نشان داد که در پلاریزاسیون HV تصاویر پالسار-۲ و پلاریزه VH ستینل-۱ نتایج رطوبت خاک قوی‌تر است. نتایج رطوبت خاک در مدل WCM در اراضی دارای پوشش گیاهی برای تصاویر پالسار-۲ در

پلاریزاسیون HH و σ_{HV}° و σ_{HH}° به ترتیب با $R^2=0.78$, RMSE=۲/۶۴ [vol. %] و $R^2=0.81$, RMSE=۲/۴۴ [vol. %] و برای Sentinel-1 و σ_{VH}° و σ_{VV}° به ترتیب با $R^2=0.76$, RMSE=۲/۶۹ [vol. %] و $R^2=0.75$, RMSE=۲/۷۴ است. در بحث برآورده رطوبت خاک با مدل WCM نتایج پالسار-۲ در پلاریزه HH با [vol. %] $R^2=0.81$ در اراضی با تراکم پوشش گیاهی بیشتر از ۰/۴ درصد دارای نتیجه بهتری است. هدف اصلی تحقیق مقایسه دو داده SAR (سنجهش پالسار-۲ از آلوس و سنجهش سنتینل-۱) در برآورده رطوبت سطح خاک است. مقایسه دو داده SAR در محدوده نشان داد، تصاویر پالسار-۲ به دلیل طول موج بلند و عمق نفوذ بیشتر در خاک و پوشش گیاهی، برای برآورده رطوبت سطح خاک در محدوده تحقیق و مناطق مشابه کارایی بیشتری دارد. همسو با موضوع پژوهش تحقیقات دیگری صورت گرفته از جمله آلیشان و همکاران (۱) در پژوهشی اقدام به برآورده رطوبت سطح خاک در اراضی بایر با استفاده از داده‌های آلوس-۲ و سنتینل-۱ کردند که به این نتیجه رسیدند که مدل WCM در حذف محتوی آب گیاهی و برآورده رطوبت سطح با استفاده از معکوس مدل در هر دو داده آلوس-۲ و سنتینل-۱ بالا بوده است. در تحقیقی که توسط زربی و دچامر (۳۶) صورت گرفته بود نشان دادند که مدل OH در دو پلاریزه HV و HH با RMSE کمتری قادر به برآورده رطوبت سطح خاک است. این تحقیق برای مدیریت محیط‌زیست، کشاورزی، منابع طبیعی و مدیریت منابع آب مناسب بوده و کمک شایانی به مدل‌سازی‌های هیدرولوژیکی می‌نماید.

تقدیر و تشکر

نویسنده‌گان مقاله مراتب سپاس و قدردانی خویش، از آقای دکتر مهدی معنق جهت تأمین بخشی از داده‌های تحقیق را تقدیم می‌نمایند.

References

- Alihsan S, Marangoz AM, Abdikan S. 2020. ALOS-2 and Sentinel-1 SAR data sensitivity analysis to surface soil moisture over bare and vegetated agricultural fields. *Computers and Electronics in Agriculture*, 171: 105303. doi:<https://doi.org/10.1016/j.compag.2020.105303>.
- Autret M, Bernard R, Vidal-Madjar D. 1989. Theoretical study of the sensitivity of the microwave backscattering coefficient to the soil surface parameters. *Remote Sensing*, 10(1): 171-179. doi:<https://doi.org/10.1080/01431168908903854>.
- Baghdadi N, Cerdan O, Zribi M, Auzet V, Darboux F, El Hajj M, Kheir RB. 2008. Operational performance of current synthetic aperture radar sensors in mapping soil surface characteristics in agricultural environments: application to hydrological and erosion modelling. *Hydrological Processes: An International Journal*, 22(1): 9-20. doi:<https://doi.org/10.1002/hyp.6609>.
- Baghdadi N, Choker M, Zribi M, Hajj ME, Paloscia S, Verhoest NE, Lievens H, Baup F, Mattia F. 2016. A new empirical model for radar scattering from bare soil surfaces. *Remote Sensing*, 8(11): 920. doi:<https://doi.org/10.3390/rs8110920>.
- Baghdadi N, Cresson R, Todoroff P, Moinet S. 2010. Multitemporal observations of sugarcane by TerraSAR-X images. *Sensors*, 10(10): 8899-8919. doi:<https://doi.org/10.3390/s101008899>.
- Baghdadi N, El Hajj M, Zribi M, Bousbih S. 2017. Calibration of the water cloud model at C-band for winter crop fields and grasslands. *Remote Sensing*, 9(9): 969. doi:<https://doi.org/10.3390/rs9090969>.
- Baghdadi N, King C, Bonnifait A. 2002. An empirical calibration of the integral equation model based on SAR data and soil parameters measurements. In: IEEE International Geoscience and Remote Sensing Symposium. IEEE, pp 2646-2650.
- Bindlish R, Barros AP. 2001. Parameterization of vegetation backscatter in radar-based, soil moisture estimation. *Remote Sensing of Environment*, 76(1): 130-137. doi:[https://doi.org/10.1016/S0034-4257\(00\)00200-5](https://doi.org/10.1016/S0034-4257(00)00200-5).

9. Cashion J, Lakshmi V, Bosch D, Jackson TJ. 2005. Microwave remote sensing of soil moisture: evaluation of the TRMM doi:<https://doi.org/10.1016/j.jhydrol.2004.10.019>.
10. Champion I, Guyot G. 1991. Generalized formulation for semi-empirical radar models representing crop backscattering. In: 5. International Colloquium, vol 319. ASE.
11. Chen K-S, Wu T-D, Tsang L, Li Q, Shi J, Fung AK. 2003. Emission of rough surfaces calculated by the integral equation method with comparison to three-dimensional moment method simulations. IEEE Transactions on Geoscience and Remote Sensing, 41(1): 90-101. doi:<https://doi.org/10.1109/TGRS.2002.807587>.
12. Choker M, Baghdadi N, Zribi M, El Hajj M, Paloscia S, Verhoest NE, Lievens H, Mattia F. 2017. Evaluation of the Oh, Dubois and IEM backscatter models using a large dataset of SAR data and experimental soil measurements. Water, 9(1): 38. doi:<https://doi.org/10.3390/w9010038>.
13. Das K, Paul PK. 2015. Present status of soil moisture estimation by microwave remote sensing. Cogent Geoscience, 1(1): 1084669. doi:<https://doi.org/10.1080/23312041.2015.1084669>.
14. Dubois PC, Van Zyl J, Engman T. 1995. Measuring soil moisture with imaging radars. IEEE transactions on geoscience and remote sensing, 33(4): 915-926. doi:<https://doi.org/10.1109/36.406677>.
15. El Hajj M, Baghdadi N, Zribi M, Rodríguez-Fernández N, Wigneron JP, Al-Yaari A, Al Bitar A, Albergel C, Calvet J-C. 2018. Evaluation of SMOS, SMAP, ASCAT and Sentinel-1 soil moisture products at sites in Southwestern France. Remote Sensing, 10(4): 569. doi:<https://doi.org/10.3390/rs10040569>.
16. Fung A, Chen K. 1992. Dependence of the surface backscattering coefficients on roughness, frequency and polarization states. International Journal of Remote Sensing, 13(9): 1663-1680. doi:<https://doi.org/10.1080/01431169208904219>.
17. Fung AK, Li Z, Chen K-S. 1992. Backscattering from a randomly rough dielectric surface. IEEE Transactions on microwave imager (TMI) satellite for the Little River Watershed Tifton, Georgia. Journal of Hydrology, 307(1): 242-253. Geoscience and Remote Sensing, 30(2): 356-369. doi:<https://doi.org/10.1109/36.134085>.
18. He L, Chen JM, Chen K-S. 2017. Simulation and SMAP observation of sun-glint over the land surface at the L-band. IEEE Transactions on Geoscience and Remote Sensing, 55(5): 2589-2604. doi:<https://doi.org/10.1109/TGRS.2017.2648502>.
19. Holah N, Baghdadi N, Zribi M, Bruand A, King C. 2005. Potential of ASAR/ENVISAT for the characterization of soil surface parameters over bare agricultural fields. Remote Sensing of Environment, 96(1): 78-86. doi:<https://doi.org/10.1016/j.rse.2005.01.008>.
20. Hong Z, Zhang W, Yu C, Zhang D, Li L, Meng L. 2018. Swcti: Surface water content temperature index for assessment of surface soil moisture status. Sensors, 18(9): 2875. doi:<https://doi.org/10.3390/s18092875>.
21. Huang S, Ding J, Zou J, Liu B, Zhang J, Chen W. 2019. Soil moisture retrieval based on sentinel-1 imagery under sparse vegetation coverage. Sensors, 19(3): 589. doi:<https://doi.org/10.3390/s19030589>.
22. Lo MH, Famiglietti JS. 2013. Irrigation in California's Central Valley strengthens the southwestern US water cycle. Geophysical Research Letters, 40(2): 301-306. doi:<https://doi.org/10.1002/grl.50108>.
23. Oh Y. 2004. Quantitative retrieval of soil moisture content and surface roughness from multipolarized radar observations of bare soil surfaces. IEEE Transactions on Geoscience and Remote Sensing, 42(3): 596-601. doi:<https://doi.org/10.1109/TGRS.2003.821065>.
24. Oh Y, Kay YC. 1998. Condition for precise measurement of soil surface roughness. IEEE transactions on geoscience and remote sensing, 36(2): 691-695. doi:<https://doi.org/10.1109/36.662751>.
25. Oh Y, Sarabandi K, Ulaby FT. 1992. An empirical model and an inversion technique for radar scattering from bare soil surfaces. IEEE transactions on Geoscience and Remote Sensing, 30(2): 370-381. doi:<https://doi.org/10.1109/36.134086>.

26. Oh Y, Sarabandi K, Ulaby FT. 1994. An inversion algorithm for retrieving soil moisture and surface roughness from polarimetric radar observation. In: Proceedings of IGARSS'94-1994 IEEE International Geoscience and Remote Sensing Symposium. IEEE, pp 1582-1584.
27. Oh Y, Sarabandi K, Ulaby FT. 2002. Semi-empirical model of the ensemble-averaged differential Mueller matrix for microwave backscattering from bare soil surfaces. *IEEE Transactions on Geoscience and Remote Sensing*, 40(6): 1348-1355. doi:<https://doi.org/10.1109/TGRS.2002.800232>.
28. Paloscia S, Pettinato S, Santi E, Notarnicola C, Pasolli L, Reppucci A. 2013. Soil moisture mapping using Sentinel-1 images: Algorithm and preliminary validation. *Remote Sensing of Environment*, 134: 234-248. doi:<https://doi.org/10.1016/j.rse.2013.02.027>.
29. Pettinato S, Santi E, Paloscia S, Pampaloni P, Fontanelli G. 2013. The intercomparison of X-band SAR images from COSMO-SkyMed and TerraSAR-X satellites: Case studies. *Remote Sensing*, 5(6): 2928-2942. doi:<https://doi.org/10.3390/rs5062928>.
30. Prévot L, Champion I, Guyot G. 1993. Estimating surface soil moisture and leaf area index of a wheat canopy using a dual-frequency (C and X bands) scatterometer. *Remote Sensing of Environment*, 46(3): 331-339. doi:[https://doi.org/10.1016/0034-4257\(93\)90053-Z](https://doi.org/10.1016/0034-4257(93)90053-Z).
31. Sikdar M, Cumming I. 2004. A modified empirical model for soil moisture estimation in vegetated areas using SAR data. In: IGARSS 2004. 2004 IEEE International Geoscience and Remote Sensing Symposium. IEEE, pp 803-806. <http://dx.doi.org/10.1109/IGARSS.2004.1368526>.
32. Sorooshian S, Li J, Hsu Kl, Gao X. 2011. How significant is the impact of irrigation on the local hydroclimate in California's Central Valley? Comparison of model results with ground and remote-sensing data. *Journal of Geophysical Research: Atmospheres*, 116(D6). doi:<https://doi.org/10.1029/2010JD014775>.
33. Ulaby FT, Moore RK, Fung AK. 1986. Microwave remote sensing: Active and passive. Volume 3-From theory to applications. doi:<https://doi.org/10.1109/TGE.1978.29458>.
34. Yin Z, Lei T, Yan Q, Chen Z, Dong Y. 2013. A near-infrared reflectance sensor for soil surface moisture measurement. *Computers and Electronics in Agriculture*, 99: 101-107. doi:<https://doi.org/10.1016/j.compag.2013.08.029>.
35. Zhao X, Huang N, Song X-F, Li Z, Niu Z. 2016. A new method for soil moisture inversion in vegetation-covered area based on Radarsat 2 and Landsat 8. *J Infrared Millim Waves*, 35(5): 609-616. doi:<https://doi.org/10.11972/j.issn.1001-9014.2016.05.016>.
36. Zribi M, Dechambre M. 2003. A new empirical model to retrieve soil moisture and roughness from C-band radar data. *Remote Sensing of Environment*, 84(1): 42-52. doi:[https://doi.org/10.1016/S0034-4257\(02\)00069-X](https://doi.org/10.1016/S0034-4257(02)00069-X).



RS & GIS for Natural Resources (Vol. 13/ Issue 1) Spring 2022

Indexed by ISC, SID, Magiran, Noormags, Civilica, Google Scholar

journal homepage : www.girs.iaubushehr.ac.ir



Comparing the estimation of soil surface moisture in agricultural lands using SAR data: ALOS PALSAR-2 and Sentinel-1A data

Sadolla Sangini, Hadi Fadaei, Amir Sadoddin, Vahedberdi Sheikh, Chogi Bairam Komaki

Received: 1 January 2021 / Received in revised form 24 April 2021 / Accepted: 16 May 2021
Available online 20 May 2021

Abstract

Background and Objective Aq Qala plain is one of the fertile plains of Golestan province. Runoff accumulation and flood formation cause a lot of human and financial losses. Understanding the temporal and spatial distributions of soil surface moisture is a key variable in simulating runoff and reducing flood hazards in the research area. In this study, the soil moisture content was investigated using data from ALOS PALSAR-2 radar satellites in the L band and Sentinel 1 in the C band.

S. Sangini¹, H. Fadaei², A. Sadoddin()³, V. b. Sheikh⁴, Ch. B. Komaki⁵

1. Ph.D. Student, Watershed Management, Department of Watershed Management, Faculty of Natural Resources, University Agricultural Sciences and Natural Resources, Gorgan, Iran
2. Assistant Professor, Department of Geography, Faculty of Geography, Amin Police University, Tehran, Iran
3. Associate Professor, Department of Watershed Management, Faculty of Natural Resources, University Agricultural Sciences and Natural Resources, Gorgan, Iran
4. Associate Professor, Department of Watershed Management, Faculty of Natural Resources, University Agricultural Sciences and Natural Resources, Gorgan, Iran
5. Assistant Professor, Department of Desert Management, Faculty of Natural Resources, University Agricultural Sciences and Natural Resources, Gorgan, Iran

e-mail: amir.sadoddin@gau.ac.ir

<http://dorl.net/dor/20.1001.1.26767082.1401.13.1.1.9>

Materials and Methods In this research, three series of ALOS PALSAR-2 radar data, Sentinel 1, and optical data of Sentinel 2A were used. To calculate the soil surface moisture, first soil samples were taken and weighed at a depth of 5 cm in each cluster by weight method. After drying the samples in the oven, the dry and wet weight was calculated. Then two important parameters of soil moisture, including dielectric constant and soil surface roughness were measured. The dielectric constant was calculated using TDR and the roughness was calculated using two digital cameras. Using Agisoft photo scan and Arc GIS software, a digital elevation model and surface roughness profiles were extracted. Radar data were processed with SNAP software from the European Space Agency (ESA). The processing steps included radiometric calibration, sigma note extraction in decibels, filtration of Lee filter and 5x5 kernel size, geometric correction and finally geocoding of all three data. With Sentinel-2 optical data, while preparing vegetation and moisture indices, a land-use map was prepared with the Forrest random algorithm. Then, with the values of roughness, dielectric constant and plant and moisture indices in MATLAB 2019 software environment, two models Oh, and WCM were coded and the soil moisture values were calculated and taken out. Then the moisture obtained from the surface redistribution model with gravity, moisture at the site, and previous studies was evaluated.

Results and Discussion In terms of radar signal sensitivity to soil surface moisture in Oh model in HH and HV polarization ALOS PALSAR- 2, in $\sigma_{\text{HH}}^{\circ}$ with $R^2 = 0.86$, $\sigma_{\text{HV}}^{\circ}$ with $R^2 = 0.905$ and for Sentinel-1 images, in $\sigma_{\text{VV}}^{\circ}$ with $R^2 = 0.91$ and $\sigma_{\text{VH}}^{\circ}$ with $R^2 = 0.93$ are sensitive to soil surface moisture. The surface backscattering coefficients sensitivity of the Oh model in ALOS PALSAR-2 in HH polarization and in HV polarization and for Sentinel-1 data in VV polarization and in VH polarization is sensitive to surface roughness. Also, the surface backscattering coefficients sensitivity of the Oh model in ALOS PALSAR-2 in HH polarization with $R^2 = 0.96$ and in HV polarization with $R^2 = 0.94$ and for Sentinel-1 data in VV polarization with $R^2 = 0.72$ and in VH polarization with $R^2 = 0.74$ is sensitive to surface roughness. Relationship between total surface backscattering coefficients obtained from the Water cloud model and soil surface moisture measured in HH and HV polarization PALSAR-2 images, in $\sigma_{\text{HH}}^{\circ}$ and $\sigma_{\text{HV}}^{\circ}$ with $R^2 = 0.73$ and $R^2 = 0.399$, respectively, and for Sentinel-1 data in polarization VV and VH, in $\sigma_{\text{VV}}^{\circ}$ and $\sigma_{\text{VH}}^{\circ}$ with $R^2 = 0.073$ and $R^2 = 0.13$, respectively, are sensitive to soil surface moisture. In the soil moisture estimation section based on Oh model for PALSAR-2 and Sentinel-1 data on bare lands in HH and HV polarization for PALSAR-2, $\sigma_{\text{HH}}^{\circ}$ and $\sigma_{\text{HV}}^{\circ}$ with $R^2 = 0.88$, RMSE = 1.924 [vol. %] and $R^2 = 0.93$, RMSE = 1.45 [vol. %] for Sentinel-1 data, respectively, $\sigma_{\text{VV}}^{\circ}$ and $\sigma_{\text{VH}}^{\circ}$ are with $R^2 = 0.81$, RMSE = 2.57 [vol. %] and $R^2 = 0.97$, RMSE = 0.90 [vol. %], respectively. The results of Oh model showed that in HV polarization, Pulsar-2 images and VH sentinel-1 polarization images have stronger soil moisture results. Soil moisture results in WCM model in vegetated lands for PALSAR-2 images in HH and HV polarization in $\sigma_{\text{HH}}^{\circ}$ and $\sigma_{\text{HV}}^{\circ}$, respectively, with $R^2 = 0.81$, RMSE = 2.44 [vol. %] and $R^2 = 0.78$, RMSE = 2.64 [vol. %], $R^2 = 0.88$, RMSE = 1.924 [vol. %] for Sentinel-1 in $\sigma_{\text{VV}}^{\circ}$ and $\sigma_{\text{VH}}^{\circ}$ with $R^2 = 0.75$, RMSE = 2.74 [vol. %] and $R^2 = 0.76$, RMSE = 2.69 [vol. %], respectively. In the discussion of estimating soil moisture with WCM model, the results of PALSAR-2 in polarization HH with $R^2 = 0.81$

[vol. %] in lands with vegetation density of more than 0.4% have better results.

Conclusion In the Oh model, the results showed that the sensitivity of HV polarization in PALSAR-2 images and VH polarization in Sentinel-1 in an area with vegetation density less than 0.4 is much higher than the polarization sensitivity of HH PALSAR-2 and polarized VV Sentinel-1. Also, the HH polarization sensitivity of PALSAR-2 and VH Sentinel-1 polarized images to surface roughness is higher than other polarizations. In the Water cloud model, the results obtained from Sentinel-1 data by eliminating the effects of vegetation and simulating the surface backscattering coefficients are very poor. Has reduced the penetration of the wave. The results showed that the polarization sensitivity of HH in areas with vegetation with a density of more than 0.4 was much higher than the polarization sensitivity of HV, also the sensitivity of the radar signal to noise was low in polarized HH but high in polarized HV. This showed that the polarization of the HH matrix is sensitive to vegetation, so the model will be more stable in the presence of vegetation. A comparison of two SAR data in the range showed that PALSAR-2 images are more efficient for estimating soil surface moisture in the study area and similar areas due to their long wavelength and depth of penetration into soil and vegetation. In line with the research topic, other researchers, including Alishan et al. A study has attempted to estimate soil surface moisture in barren lands using PALSAR-2 and Sentinel-1 data, which concluded that the WCM model eliminates plant water content. And surface moisture estimation using the inverse model was high in both PALSAR-2 and Sentinel-1 data. A study by Zaribi et al. Showed that the OH model in both polarized HV and HH with lower RMSE is able to estimate soil surface moisture. This research is suitable for environmental management, agriculture, natural resources, and water resources management and contributes significantly to hydrological modeling.

Keywords: Soil surface moisture, ALOS PALSAR-2 sensor, Sentinel-1A, Oh model, Water cloud model